

# Байесовский выбор моделей: построение адекватных мультимоделей

Александр Адуенко

21е ноября 2023

# Содержание предыдущих лекций

- Формула Байеса и формула полной вероятности;
- Определение априорных вероятностей и selection bias;
- (Множественное) тестирование гипотез
- Экспоненциальное семейство. Достаточные статистики.
- Наивный байесовский классификатор. Связь целевой функции и вероятностной модели.
- Линейная регрессия: связь МНК и  $w_{ML}$ , регуляризации и  $w_{MAP}$ .
- Свойство сопряженности априорного распределения правдоподобию.
- Прогноз для одиночной модели:
$$p(\mathbf{y}_{\text{test}}|\mathbf{X}_{\text{test}}, \mathbf{X}_{\text{train}}, \mathbf{y}_{\text{train}}) = \int p(\mathbf{y}_{\text{test}}|\mathbf{w}, \mathbf{X}_{\text{test}})p(\mathbf{w}|\mathbf{X}_{\text{train}}, \mathbf{y}_{\text{train}})d\mathbf{w}.$$
- Связь апостериорной вероятности модели и обоснованности
- Обоснованность: понимание и связь со статистической значимостью.
- Логистическая регрессия: проблемы ML-оценки  $w$  и связь априорного распределения с отбором признаков.
- EM-алгоритм и отбор признаков в байесовской линейной регрессии.
- Вариационный EM-алгоритм. Смесь моделей лог. регрессии.
- Гауссовские процессы. Учёт эволюции моделей во времени.

# Смесь моделей логистической регрессии

## Вероятностная модель генерации данных

- Веса моделей в смеси  $\pi$  получены из априорного распределения  $p(\pi|\mu)$ ;
- Векторы параметров моделей  $\mathbf{w}_k$  получены из нормального распределения  $p(\mathbf{w}_k|\mathbf{A}_k) = \mathcal{N}(\mathbf{w}_k|\mathbf{0}, \mathbf{A}_k^{-1})$ ,  $k = 1, \dots, K$ ;
- Для каждого объекта  $\mathbf{x}_i$  выбрана модель  $f_{k_i}$ , которой он описывается, причем  $p(k_i = k) = \pi_k$ ;
- Для каждого объекта  $\mathbf{x}_i$  класс  $y_i$  определен в соответствии с моделью  $f_{k_i}$ :  $y_i \sim \text{Be}\left(\sigma(\mathbf{w}_{k_i}^\top \mathbf{x}_i)\right)$ .

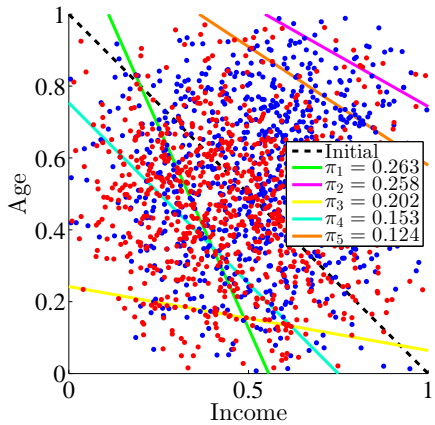
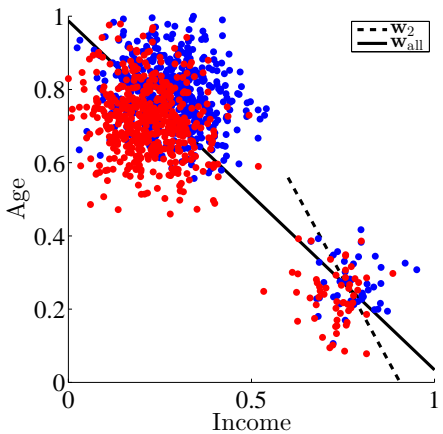
## Совместное правдоподобие модели

$$p(\mathbf{y}, \mathbf{w}_1, \dots, \mathbf{w}_K, \boldsymbol{\pi} | \mathbf{X}, \mathbf{A}_1, \dots, \mathbf{A}_K, \boldsymbol{\mu}) = \\ p(\boldsymbol{\pi} | \boldsymbol{\mu}) \prod_{k=1}^K \mathcal{N}(\mathbf{w}_k | \mathbf{0}, \mathbf{A}_k^{-1}) \prod_{i=1}^m \left( \sum_{l=1}^K \pi_l \sigma(y_i \mathbf{w}_l^\top \mathbf{x}_i) \right).$$

**Вопрос:** Пусть известна функция  $f(\mathbf{x})$ , которая по объекту выдает номер модели, которой он описывается. Как изменится совместное правдоподобие?

# Близость моделей в мульти модели

Проблема: большое число близких или совпадающих моделей ведет к неинтерпретируемости и низкому качеству прогноза.



Неадекватная многоуровневая модель

Неадекватная смесь моделей

Вопрос: почему появление лишних моделей ухудшает качество прогноза?

# Постановка задачи сравнения моделей

**Определение.** Мультимодель с совместным распределением  $p(\mathbf{y}, \mathbf{w}_1, \dots, \mathbf{w}_K, (\boldsymbol{\pi}) | \mathbf{X}, \mathbf{A}_1, \dots, \mathbf{A}_K, (\boldsymbol{\mu}))$  называется  $(s, \alpha)$ -адекватной, если модели, ее составляющие, попарно статистически различимы с помощью функции сходства  $s$  на уровне значимости  $\alpha$ .

## Проблема

Несмотря на прореживание мультимодели, она может не являться  $(s, \alpha)$  – адекватной, то есть может содержать похожие модели.

## Дано

- Две модели  $f_1$  и  $f_2$ , векторы параметров моделей  $\mathbf{w}_1, \mathbf{w}_2$ .
- Выборки  $(\mathbf{X}_1, \mathbf{y}_1)$  и  $(\mathbf{X}_2, \mathbf{y}_2)$ ,  
 $y_{1,i} = f_1(\mathbf{x}_{1,i}, \mathbf{w}_1), \quad y_{2,i} = f_2(\mathbf{x}_{2,i}, \mathbf{w}_2)$ .
- Априорные распределения  $\mathbf{w}_1 \sim p_1(\mathbf{w}), \mathbf{w}_2 \sim p_2(\mathbf{w})$ .
- Апостериорные распределения параметров моделей  
 $g_1(\mathbf{w}_1) = p(\mathbf{w}_1 | \mathbf{X}_1, \mathbf{y}_1)$  и  $g_2(\mathbf{w}_2) = p(\mathbf{w}_2 | \mathbf{X}_2, \mathbf{y}_2)$ .

**Требуется:** построить функцию сходства, определенную на паре распределений  $g_1(\mathbf{w})$  и  $g_2(\mathbf{w})$ , удовлетворяющую ряду требований.



# Требования к функции сходства $s$

Корректная функция сходства  $s$  должна быть

- 1 определена в случае несовпадения носителей,
- 2  $s(g_1, g_2) \leq s(g_1, g_1)$ ,
- 3  $s \in [0, 1]$ ,
- 4  $s(g_1, g_1) = 1$ ,
- 5 близка к 1, если  $g_2(\mathbf{w})$  — малоинформационное распределение,
- 6 симметрична,  $s(g_1, g_2) = s(g_2, g_1)$ .

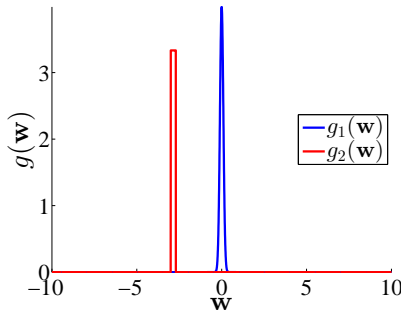
Теорема 1 (Адуенко, 2014)

Функции сходства, порожденные расстояниями Кульбака-Лейблера, Дженсона-Шеннона, Хеллингера, Бхаттачарайи, не являются корректными.

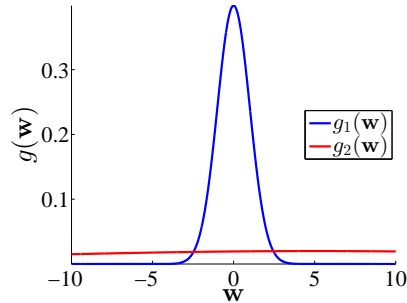
# Иллюстрация требований к функции сходства

Важно, чтобы значение функции  $s$

было близко к 1, если  $g_2(\mathbf{w})$  — малоинформационное распределение.



$$g_1(\mathbf{w}) = \mathcal{N}(0, 0.1^2),$$
$$g_2(\mathbf{w}) = U[-3, -2.7].$$



$$g_1(\mathbf{w}) = \mathcal{N}(0, 1),$$
$$g_2(\mathbf{w}) = \mathcal{N}(5, 20^2).$$

Теорема 2 (Адуенко, 2014)

Функции сходства, порожденные дивергенциями Брегмана, симметризованными дивергенциями Брегмана и  $f$ -дивергенциями, не являются корректными.

# Предлагаемая функция сходства

В качестве меры сходства распределения предлагается мера сходства *s-score*:

$$s(g_1, g_2) = \frac{\int_{\mathbf{w}} g_1(\mathbf{w})g_2(\mathbf{w})d\mathbf{w}}{\max_{\mathbf{b}} \int_{\mathbf{w}} g_1(\mathbf{w} - \mathbf{b})g_2(\mathbf{w})d\mathbf{w}}.$$

**Теорема 3 (Адуенко, 2014).** Предлагаемая функция сходства является корректной.

Примеры:

$g_1(\mathbf{w})$	$g_2(\mathbf{w})$	$s(g_1, g_2)$
$U[0, 1]$	$U[0.5, 1.5]$	0.5
$U[0, 1]$	$U[0, 1]$	1
$\mathcal{N}(0, 1)$	$\mathcal{N}(10, 10^{10})$	1

# Выражение для $s(g_1, g_2)$ для пары нормальных распределений

**Определение.** Обобщенно-линейной моделью с натуральной функцией связи и априорным распределением на вектор параметров  $p(\mathbf{w}|\mathbf{A})$  называется вероятностная модель с совместным правдоподобием

$$p(\mathbf{y}, \mathbf{w}|\mathbf{X}, \mathbf{A}) = p(\mathbf{y}|\mathbf{X}, \mathbf{w})p(\mathbf{w}|\mathbf{A}), \text{ где } p(\mathbf{y}|\mathbf{X}, \mathbf{w}) = \prod_{i=1}^m p(y_i|\mathbf{x}_i, \mathbf{w}),$$
$$p(y_i|\mathbf{x}_i, \mathbf{w}) = c(y_i) \exp(\theta_i y_i - b(\theta_i)), \text{ где } \theta_i = \mathbf{w}^\top \mathbf{x}_i.$$

**Теорема 4 (Адуенко, 2014).**

Пусть  $g_1 = \mathcal{N}(\mathbf{v}_1, \Sigma_1)$ ,  $g_2 = \mathcal{N}(\mathbf{v}_2, \Sigma_2)$ . Тогда выражение для  $s(g_1, g_2)$  имеет вид

$$s(g_1, g_2) = \exp\left(-\frac{1}{2}(\mathbf{v}_1 - \mathbf{v}_2)^\top (\Sigma_1 + \Sigma_2)^{-1}(\mathbf{v}_1 - \mathbf{v}_2)\right).$$

**Следствие.** В случае  $\Sigma_2 = \mathbf{0}$  выражение для s-score

$$s(g_1, g_2) = \exp\left(-\frac{1}{2}(\mathbf{v}_2 - \mathbf{v}_1)^\top \Sigma_1^{-1}(\mathbf{v}_2 - \mathbf{v}_1)\right).$$

# Распределение s-score в условии истинности гипотезы о совпадении моделей

Рассматриваем пару обобщенно-линейных моделей с натуральной функцией связи. Введем  $O_m^\delta(\mathbf{w}) = \{\mathbf{v} : \|\mathbf{H}_m^{T/2}(\mathbf{v} - \mathbf{w})\| \leq \delta\}$ .

**Теорема 5 (Адуенко, 2016).** Пусть

- Модели  $f_1$  и  $f_2$  совпадают, то есть  $\mathbf{w}_1 = \mathbf{w}_2 = \mathbf{w}$ ;
- Априорное распределение:  $\mathbf{w}_k \sim \mathcal{N}(\mathbf{w}_k | \mathbf{0}, \mathbf{A}_{m^k}^{-1})$ ,  $k = 1, 2$ ;
- $\sum_{i=1}^{m^k} \mathbf{x}_i \mathbf{x}_i^\top$  имеет полный ранг для  $m^k \geq m_0$ ,  $k = 1, 2$ ;
- $\lambda_{\min}(\mathbf{H}_{m^k}(\mathbf{w})) \rightarrow \infty$  при  $m^k \rightarrow \infty$ ,  $k = 1, 2$ ;
- $\forall \delta > 0 \max_{\mathbf{v} \in O_{m^k}^\delta(\mathbf{w})} \left\| \mathbf{H}_{m^k}^{-\frac{1}{2}} \mathbf{H}_{m^k}(\mathbf{v}) \mathbf{H}_{m^k}^{-\frac{1}{2}} - \mathbf{I} \right\| \rightarrow 0$   $m^k \rightarrow \infty$ ,  $k = 1, 2$ ;
- $\|\tilde{\mathbf{H}}_{m^1}(\hat{\mathbf{w}}_1)\| \|\tilde{\mathbf{H}}_{m^2}^{-1}(\hat{\mathbf{w}}_2)\| \xrightarrow{\text{P}} 0$  при  $m = \min(m^1, m^2) \rightarrow \infty$ .

Тогда

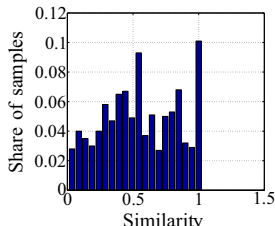
$$-2 \log \text{s-score} = (\hat{\mathbf{w}}_2 - \hat{\mathbf{w}}_1)^\top (\tilde{\mathbf{H}}_{m^1}^{-1}(\hat{\mathbf{w}}_1) + \tilde{\mathbf{H}}_{m^2}^{-1}(\hat{\mathbf{w}}_2))^{-1} (\hat{\mathbf{w}}_2 - \hat{\mathbf{w}}_1) \xrightarrow{d} \chi^2(n).$$

**Следствие.** Для случая  $n = 2$  s-score имеет асимптотически равномерное распределение на отрезке  $[0, 1]$ .

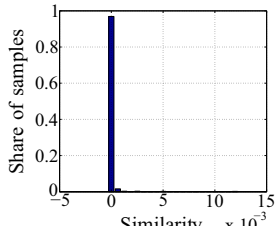
# Иллюстрация применения s-score для сравнения двух моделей, $\rho = 0.9$

Рассмотрим две близкие в терминах  $\|\mathbf{w}_1 - \mathbf{w}_2\|$  модели,

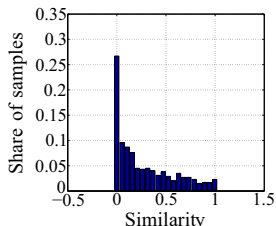
$$\|\mathbf{w}_1\| = \|\mathbf{w}_2\| = 1, \mathbf{w}_1^\top \mathbf{w}_2 = \rho.$$



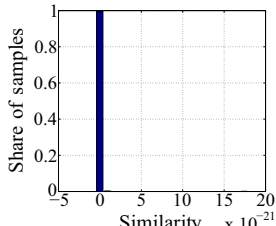
$$N_1 = 10000, N_2 = 10$$



$$N_1 = 10000, N_2 = 1000$$



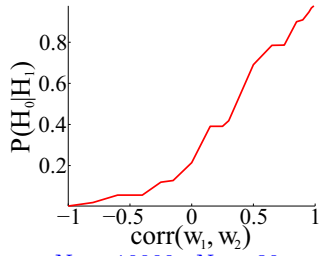
$$N_1 = 10000, N_2 = 100$$



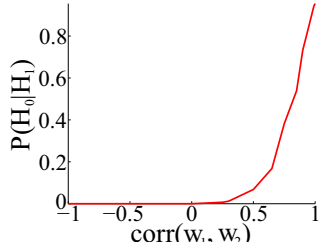
$$N_1 = 10000, N_2 = 10000$$

# Зависимость $P(H_0|H_1)$ от корреляции между истинными параметрами двух моделей.

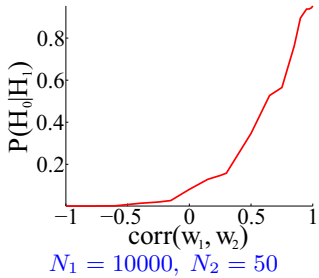
Рассмотрим две близкие в терминах  $\|\mathbf{w}_1 - \mathbf{w}_2\|$  модели,  
 $\|\mathbf{w}_1\| = \|\mathbf{w}_2\| = 1$ ,  $\cos(\mathbf{w}_1, \mathbf{w}_2) = \rho$ .



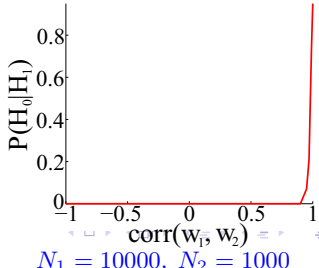
$$N_1 = 10000, N_2 = 30$$



$$N_1 = 10000, N_2 = 100$$



$$N_1 = 10000, N_2 = 50$$



$$N_1 = 10000, N_2 = 1000$$

# Методы прореживания мульти моделей

Обозначим матрицу парных сходств  $\mathbf{S} = [s_{kl}(g_k(\mathbf{w}_k), g_l(\mathbf{w}_l))]$ ,

а матрицу достижаемых уровней значимости

$\mathbf{T} = [\Pr(s(g_k(\mathbf{w}_k), g_l(\mathbf{w}_l)) < s_{kl} | \mathbf{w}_k = \mathbf{w}_l)]$ ,  $k, l = 1, \dots, K$ .

1 Находим  $[k^*, l^*] = \arg \max_{k < l} t_{kl}$ .

2 Если  $t_{k^*l^*} < \alpha$ , останавливаемся. Иначе на шаг 3.

3

- Для многоуровневых моделей:

Объединяем модели  $k^*$ ,  $l^*$  и пересчитываем  $g_{k^*}(\mathbf{w}_{k^*})$ .

$\mathcal{I}_{k^*} \sqcup \mathcal{I}_{l^*} \rightarrow \mathcal{I}_{k^*}$ ,  $\mathbf{A}_{k^*}^* = \arg \max_{\mathbf{A}_{k^*}} p(\mathbf{y}_{\mathcal{I}_{k^*}} | \mathbf{X}_{\mathcal{I}_{k^*}}, \mathbf{A}_{k^*})$ ;

$g_{k^*}(\mathbf{w}_{k^*}) = \mathcal{N}(\mathbf{w}_{k^*} | \mathbf{w}_{k^*}^*, \Sigma_{k^*}^*)$

- Для смесей моделей:

Объединяем модели  $k^*$ ,  $l^*$  и перенастраиваем смесь моделей.

Начальное приближение:

$$\pi_{k^*} + \pi_{l^*} \rightarrow \pi_{k^*}, 0 \rightarrow \pi_{l^*}, \frac{\mathbf{w}_{k^*} + \mathbf{w}_{l^*}}{2} \rightarrow \mathbf{w}_{k^*}, \mathbf{w}_k \rightarrow \mathbf{w}_k, k \neq k^*, l^*.$$

4 Удаляем  $l^*$ -й столбец матриц  $\mathbf{S}$  и  $\mathbf{T}$  и пересчитываем  $s_{k^*l}$  и  $t_{k^*l}$  для  $l \neq k^*$ . Переходим на шаг 1.

# Литература

- 1 Bishop, Christopher M. "Pattern recognition and machine learning". Springer, New York (2006). Pp. 48-58, 203-213, 653-674.
- 2 Адуенко, А. А. "Выбор мультимоделей в задачах классификации". Москва, 2017.  
URL: [http://frccsc.ru/sites/default/files/docs/ds/002-073-05/diss/11-aduenko/11-Aduenko\\_main.pdf?626](http://frccsc.ru/sites/default/files/docs/ds/002-073-05/diss/11-aduenko/11-Aduenko_main.pdf?626)
- 3 Baghishani, Hossein, and Mohsen Mohammadzadeh. "Asymptotic normality of posterior distributions for generalized linear mixed models." *Journal of Multivariate Analysis* 111 (2012): 66-77.
- 4 MacKay, David JC. Bayesian methods for adaptive models. Diss. California Institute of Technology, 1992.
- 5 MacKay, David JC. "The evidence framework applied to classification networks." *Neural computation* 4.5 (1992): 720-736.
- 6 Gelman, Andrew, et al. Bayesian data analysis, 3rd edition. Chapman and Hall/CRC, 2013.
- 7 Дрейпер, Норман Р. Прикладной регрессионный анализ. Рипол Классик, 2007.